

摘要

本次编程作业实现了二维 Poisson 方程的求解，报告将对结果进行展示并进行误差分析。

1 程序设计思路及实现原理

- **规则区域、Dirichlet 边界条件：**对于规则区域 Ω ，由于 Dirichlet 边界条件下，边界上的函数值已知，我们直接采用讲义里给出的五点差分法离散拉普拉斯算子 Δ 。
- **规则区域、Neumann 边界条件：**此时边界上的函数值未知，假设格点大小 $h = \frac{1}{N}$ ，对于直线 $x = h, x = 1 - h, y = h, y = 1 - h$ 上的点，此时无法直接用五点差分离散拉普拉斯算子 Δ ，这里没有采用讲义上的 ghost cell 方法，而是直接用点 U_A, U_B, U_C 进行插值得到插值函数 p ，用 p 函数的一阶导数近似边界上原函数 f 的一阶导数。具体见图片 1

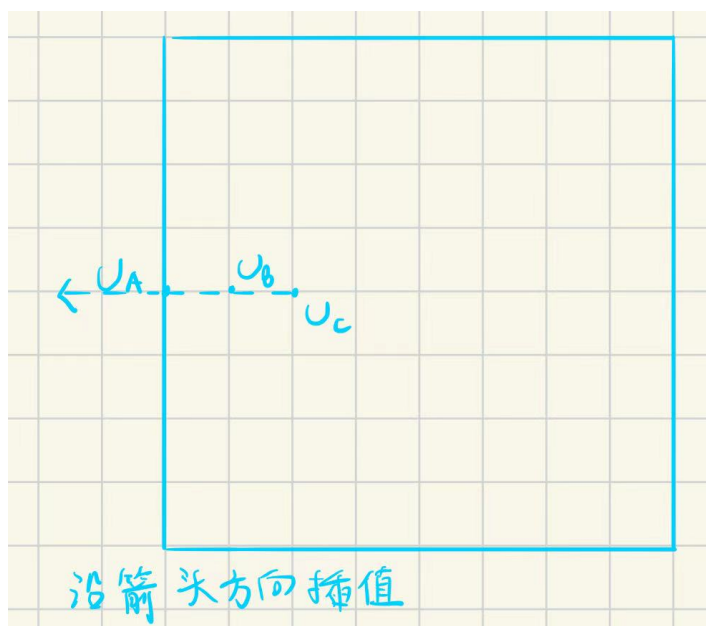


图 1: Neumann 边界条件

- **规则区域、混合边界条件：**我设计的 Poisson 方程求解器要求混合边界条件以正方形的边为单位给出，即：允许 $x = 1, x = 0$ 上提出 Neumann 边界条件， $y = 1, y = 0$ 上提出 Dirichlet 边界条件，但是不允许 $x = 1$ 上部分点是 Dirichlet 边界条件，部分点是 Neumann 边界条件。对于混合边界条件，只要判断具体是上面的两种边界条件中哪一种，对应处理即可。
- **不规则区域、Dirichlet 边界：**采用讲义上图片 2，公式 (7.88) 的离散方式。对于边界内的格点，直接设置值为 0。对于边界附近的点，采用公式：

$$L_h U_P := \frac{(1 + \theta)U_P - U_A - \theta U_W}{\frac{1}{2}\theta(1 + \theta)h^2} + \frac{(1 + \alpha)U_P - U_B - \alpha U_S}{\frac{1}{2}\alpha(1 + \alpha)h^2}.$$

近似拉普拉斯算子 Δ 。

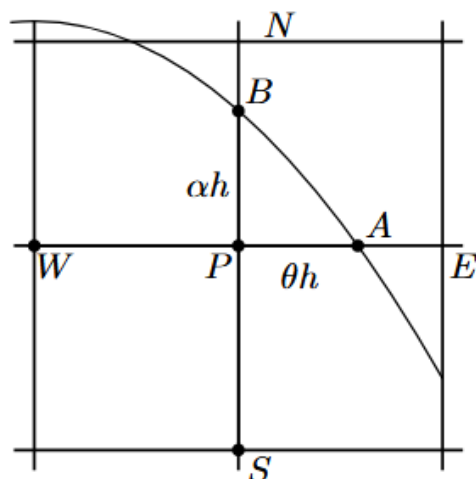


图 2: 讲义图片 7.4

- **不规则区域, Neumann 边界:** 此时在规则边界上, 采用之前的离散方式, 在不规则边界附近的点, 如下图所示: 我们要近似 P 处的 $\frac{\partial^2 u}{\partial x^2}$, 需要向圆内延申一个点 A , 即此时

$$\frac{\partial^2 u}{\partial x^2}|_P = \frac{2U_P - U_A - U_C}{h^2}$$

为了求出 U_A , 连接直线 AO 交格点于 T , 交圆于 X , 用 $U_B U_P$ 的值插值, 得到 U_T , 再利用

$$\frac{\partial u}{\partial \nu}|_X = \frac{U_A - U_T}{d(A, T)}$$

具体见图 3

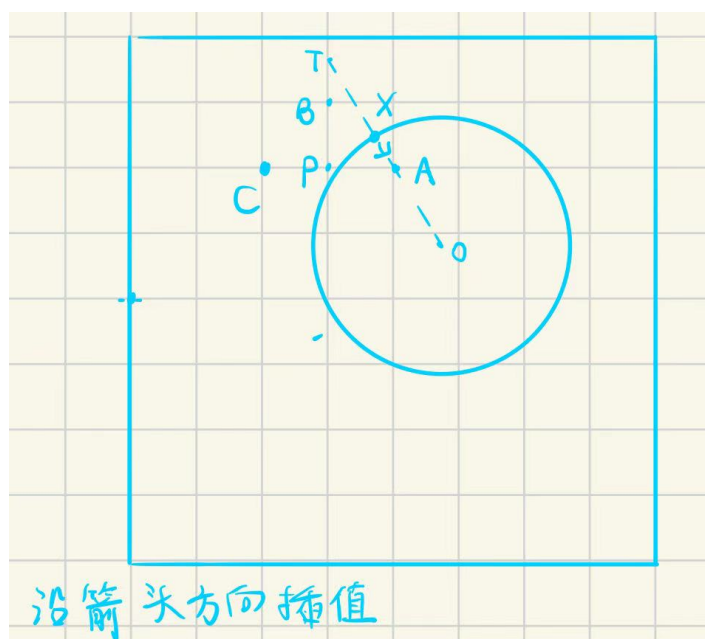


图 3: 不规则区域 Neumann 边界条件

- **不规则区域、混合边界条件:** 同样地: 只要判断在边界上究竟是 Neumann 边界条件还是 Dirichlet 边界条件, 然后按照对应的方法离散即可。

2 程序运行结果

本次测试有三个函数, 分别是 $u(x, y) = e^{y+\sin(x)}$, $u(x, y) = \log(x + 2y + 0.5)$, $u(x, y) = \sin(e^x + y + 1)$, 由于测试用例很多, 只展示对 $u(x, y) = e^{y+\sin(x)}$ 的测试结果, 所有测试结果的图片都保存在 `figure` 文件夹, 数据保存在 `output` 文件夹。

- 规则边界, Dirichlet 边界条件:

```

1      {
2          "boundary_condition": 0,
3          "domain": 0,
4          "l1_norm": 0.0018029833955581775,
5          "l2_norm": 0.0008034791522725579,
6          "linfinity_norm": 0.0005369806601569493
7      },
8      {
9          "boundary_condition": 0,
10         "domain": 0,
11         "l1_norm": 0.0009259174102427131,
12         "l2_norm": 0.000285369489145835,
13         "linfinity_norm": 0.00013759499931875752
14     },
15     {
16         "boundary_condition": 0,
17         "domain": 0,
18         "l1_norm": 0.0004660506595506736,
19         "l2_norm": 0.00010100320375420975,
20         "linfinity_norm": 3.445024838955035e-05
21     },
22     {
23         "boundary_condition": 0,
24         "domain": 0,
25         "l1_norm": 0.0002334145927689324,
26         "l2_norm": 3.571961958176341e-05,
27         "linfinity_norm": 8.624139446133938e-06
28     }
29 
```

- 规则边界, Neumann 边界条件:

```

1      {
2          "boundary_condition": 1,
3          "domain": 0,
4          "l1_norm": 0.1378620311788022,
5          "l2_norm": 0.05911065964839879,
6          "linfinity_norm": 0.03582693936896453
7      },
8      {
9          "boundary_condition": 1,
10         "domain": 0,
11         "l1_norm": 0.12038180736898599,
12         "l2_norm": 0.03311811432618216,
13         "linfinity_norm": 0.012413965808491856
14     },
15     {
16         "boundary_condition": 1,
17         "domain": 0,
18         "l1_norm": 0.08603561261640454,
19         "l2_norm": 0.016000327648816745,
20         "linfinity_norm": 0.003890650983532584
21     }
22 
```

```

21     },
22     {
23         "boundary_condition": 1,
24         "domain": 0,
25         "l1_norm": 0.05570034619663955,
26         "l2_norm": 0.007162695526340437,
27         "linfinity_norm": 0.0011621604459728374
28     },
29 
```

- 不规则边界, Dirichlet 边界条件:

```

1     {
2         "boundary_condition": 0,
3         "domain": 1,
4         "l1_norm": 0.0008467978248357655,
5         "l2_norm": 0.0004510640402120567,
6         "linfinity_norm": 0.0004572443924395486
7     },
8     {
9         "boundary_condition": 0,
10        "domain": 1,
11        "l1_norm": 0.0002952036977586642,
12        "l2_norm": 0.0001043678506377078,
13        "linfinity_norm": 7.508401886680005e-05
14    },
15    {
16        "boundary_condition": 0,
17        "domain": 1,
18        "l1_norm": 0.00011145442054616428,
19        "l2_norm": 2.6232576960044132e-05,
20        "linfinity_norm": 1.019374547972518e-05
21    },
22    {
23        "boundary_condition": 0,
24        "domain": 1,
25        "l1_norm": 3.226979934467175e-05,
26        "l2_norm": 5.513152287627239e-06,
27        "linfinity_norm": 1.706298987880217e-06
28    },
29 
```

- 不规则边界, Neumann 边值条件:

```

1     {
2         "boundary_condition": 1,
3         "domain": 1,
4         "l1_norm": 0.13788848778244225,
5         "l2_norm": 0.06283645850410362,
6         "linfinity_norm": 0.04618947221941205
7     },
8     {
9         "boundary_condition": 1,
10        "domain": 1,
11        "l1_norm": 1.1408564488934814,
12        "l2_norm": 0.34398640322369506,
13        "linfinity_norm": 0.14857164575712067
14    },
15    {
16        "boundary_condition": 1,

```

```

17         "domain": 1,
18         "l1_norm": 0.9267684236403655,
19         "l2_norm": 0.1850332405786746,
20         "linfinity_norm": 0.04965998049302822
21     },
22     {
23         "boundary_condition": 1,
24         "domain": 1,
25         "l1_norm": 0.867053614219916,
26         "l2_norm": 0.11938541717425366,
27         "linfinity_norm": 0.021128588510432422
28     },
29 
```

3 收敛性和误差分析

程序运行结果中的 `error.json` 文件中的误差范数按照讲义中定义 7.13 的方式计算，即：误差在格点 $X := \{x_1, x_2, \dots, x_N\}$ 的 L_q -范数 g 定义为：

$$\|g\|_{L_q} = \left(h \sum_{i=1}^N |g_i|^q \right)^{\frac{1}{q}}. \quad (7.15)$$

。

- **规则边界，Dirichlet 边界条件：**truncation error 来自离散拉普拉斯算子的误差，理论和实验都证明了 l_∞ 的误差是 $l_\infty = O(h^2)$ 。

$$R_{ij}(u) = -\frac{u(x_{i+1}, y_j) - 2u(x_i, y_j) + u(x_{i-1}, y_j))}{h^2} - \frac{u(x_i, y_{j-1}) - 2u(x_i, y_j) + u(x_i, y_{j+1}))}{h^2} - f_{ij},$$

- **规则边界，Neumann 边界条件：**截断误差来自离散 Δ 算子和对边界上函数值的估。理论上二阶插值得到的误差应该是 $O(h^2)$ ，实际实验结果不尽人意，无法达到理论上的精度，只有 $l_\infty = O(h^{2/3})$ 的收敛精度。

- 不规则边界, Dirichlet 边界条件: 截断误差来自离散拉普拉斯算子, 同样可以证明截断误差为 $O(h^2), l_\infty = O(h^2)$

$$\tau_p = \frac{(1+\theta)U_p - U_A - \theta U_w}{\theta(1+\theta)h^2} + \frac{(1+\alpha)U_p - U_B - \alpha U_S}{2(1+\alpha)h^2} + \Delta u|_p$$

$$U_A = U_p + \theta h \frac{\partial u}{\partial x} \Big|_p + \frac{1}{2} \theta^2 h^2 \frac{\partial^2 u}{\partial x^2} \Big|_p + \frac{1}{6} \theta^3 h^3 \frac{\partial^3 u}{\partial x^3} \Big|_p + O(h^4)$$

$$U_W = U_p - h \frac{\partial u}{\partial x} \Big|_p + \frac{1}{2} h^2 \frac{\partial^2 u}{\partial x^2} \Big|_p - \frac{1}{6} h^3 \frac{\partial^3 u}{\partial x^3} \Big|_p + O(h^4)$$

$$U_B = U_p + \alpha h \frac{\partial u}{\partial y} \Big|_p + \frac{1}{2} \alpha^2 h^2 \frac{\partial^2 u}{\partial y^2} \Big|_p + \frac{1}{6} \alpha^3 h^3 \frac{\partial^3 u}{\partial y^3} \Big|_p + O(h^4)$$

$$U_S = U_p - h \frac{\partial u}{\partial y} \Big|_p + \frac{1}{2} h^2 \frac{\partial^2 u}{\partial y^2} \Big|_p - \frac{1}{6} h^3 \frac{\partial^3 u}{\partial y^3} \Big|_p + O(h^4)$$

$$\begin{aligned} \Rightarrow \tau_p &= \frac{h}{3} \frac{\theta(1-\theta^3)}{\theta(1+\theta)} \frac{\partial^3 u}{\partial x^3} \Big|_p + \frac{h}{3} \frac{2(1-\alpha)}{(1+\alpha)} \frac{\partial^3 u}{\partial y^3} \Big|_p + O(h^2) \\ &= \frac{1-\theta}{3} h \frac{\partial^3 u}{\partial x^3} \Big|_p + \left(\frac{1-\alpha}{3} \right) h \frac{\partial^3 u}{\partial y^3} \Big|_p + O(h^2) \end{aligned}$$

- 不规则边界, Neumann 边值条件: 对于 $\partial\mathbb{D}$ 附件的点, 我们用了一阶插值来近似 ghost cell 的值, 理论上精度是一阶的, 实验数据也确实证明了 $l_\infty = O(h)$